

Uvjeti otjecanja i režim tekućica u porječju Mirne

Rade Knežević

U članku su iznijeti rezultati analize režima tekućica porječja Mirne. Razmatrani su i utjecaji izgrađenih hidrotehničkih objekata na režime otjecanja. Promjene u režimu utvrđene su usporedbom podataka razdoblja prije podizanja brane Botonega 1987. godine s razdobljem nakon izgradnje.

Ključne riječi: porječje Mirne, korito, vodostaj, protok, režim tekućice

Water Flow Conditions and Stream Flow Regime in the Catchment Area of the Mirna River

This article reports the results of the analysis of the flow regime in the catchment area of the Mirna River. The effects of the constructed hydrotechnological objects on the water supply of the river, as well as the Mirna river regime change, are analysed. A change in the flow regime is determined by comparing data gathered before and after the construction of the Botonega dam (1987).

Key words: Mirna catchment area, river bed, river stage, discharge, river regime

UVOD

U porječju Mirne evidentirano je 140 tekućica (Kos 2001). Tekućica Mirna i njene pritoke Malahuba, Bračana i Botonega stalne su vodne pojave dok se druge pritoke pojavljuju sezonski i epizodno. Za određivanje prostora što ga odvodnjava Mirna sa svojim pritocima, na površini kopna ili kroz podzemlje, koriste se razvodnice koje je ustavio Srebrenović (1965). Prema istom izvoru hidrogeološka razvodnica na sjeverozapadu prolazi Momjanskim pobrdjem, na sjeveroistoku i istoku gorskom skupinom Ćićarije te na jugoistoku Dragućkim pobrdjem i Istarskom zaravni. Topografsko porječje, koje neposredno sudjeluje u stvaranju vodnog vala, ima površinu od 180.6 km^2 , a hidrogeološko porječje površinu od 583.5 km^2 . Najveći dio kako topografskog tako i hidrogeološkog porječja nalazi se na teritoriju Hrvatske, a površina topografskog porječja od 46.7 km^2 (izmjerena kvadratičnom mrežom na topografskoj karti M 1:50 000 listovi Rovinj 1 i Rovinj 2) nalazi se na teritoriju Slovenije.

Relativni reljef je 22.5. Taj je podatak dobiven diobom maksimalne visinske razlike porječja (1014m) s duljinom porječja (udaljenost između ušća Mirne i najudaljenije točke na razvodnici je 45 km).

U krškom dijelu Čićarije, rezultati novijih trasiranja otjecanja u podzemlju, koji su dobiveni ubacivanjem Ci-tricija, Na-fluorosceina, bakteriofaga i pivskog kvasca, razlikuju se od starijih, zbog čega se očekuju ispravke pojedinih podataka o porječju (Dokumentacija fonda Mirne 2001).

U dosadašnjim hidrogeološkim istraživanjima Mirna je prikazana kao tekućica kojoj je ušće bio prostrani i duboki morski zaljev (d'Ambrosi 1969). Do opličavanja zaljeva (estuarija) i njegovog zatrpanja došlo je uslijed sedimentacije velike količine materijala donešenog vodenim tokovima (Benac 1991). Porijeklo sedimenata povezano je s fluvijalnom erozijom fliša i padinskom denudacijom (Babić 1968). Zbog ogoljavanja erozijom flišni dio porječja, od kraja zadnje oledbe, ubrzano se snižava. U porječju Bračane denudijsko snižavanje reljefa je 0.95 mm godišnje a u porječju Botonege 1.98 mm godišnje (Mihljević 1995).

Sustav podzemnog otjecanja porječjem istraživan je primjenom različitih obilježivača (Magdalenić, Vazdar 1993; Bonacci 1996). Ustanovljeni su glavni smjerovi otjecanja te podzemne veze između ponora i izvora.

Režim otjecanja u porječju Mirne podrobno je istražen za razdoblje 1928.-1964. godine (Srebrenović 1965). U tom razdoblju srednji protok na najnižvodnjoj hidrološkoj postaji Portonski most iznosio je $8.20 \text{ m}^3/\text{s}$, dok su ekstremni maksimalni protoci od $194\text{m}^3/\text{s}$ zabilježeni 1964. godine. Prilikom karakterističnih najvećih vrijednosti protoka dolazi do izljevanja tekućica porječja i pojava velikih poplava (Riđanović 1975; Kos 1998). Poplavljene površine otežavaju organizaciju prostora Istre a njihova regulacija provodi se još od 1632. godine (Kos 2001).

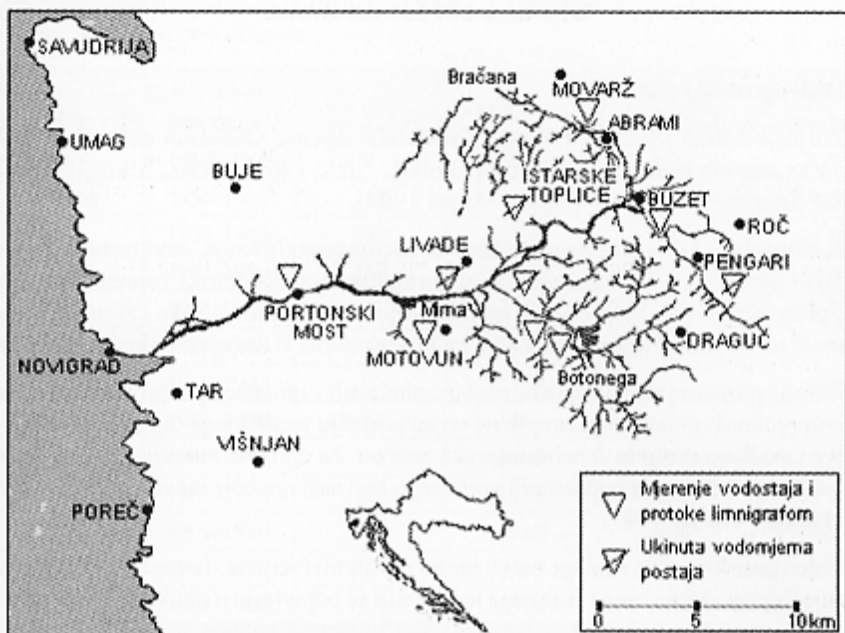
Realizacijom prvog dijela projekta Botonega 1987. godine (drugi dio obuhvaća izgradnju uređaja za kondicioniranje voda) regulirano je otjecanje na srednjem dijelu porječja te podignuta brana i izgrađeno umjetno jezero (Rubinić, Ožanić 1998). Izgradnjom hidrotehničkog sustava regulirani su protoci visokih voda zbog čega je došlo do promjena u režimu otjecanja na dijelu porječja (Kvastek 1996; Rubinić, Bušelić 1999).

Na temelju prikupljenih, hidrogeografski relevantnih podataka o porječju Mirne, u ovom radu je pokušano odrediti režim otjecanja i to razmatranjem prirodnih i promjenjenih činitelja koji sudjeluju u opskrbi tekućica vodom i promjena njihovih stanja.

METODE RADA

Pri razmatranju opskrbe tekućica vodom i njihovog režima u porječju Mirne uvodno su analizirani podaci iz arhiva Fonda Mirne koji se vodi u Hrvatskoj vodoprivredi Rijeka. Nakon toga dio potrebnih podataka prikupljen je kartiranjem pojava na terenu u mokrom i sušnom dijelu godine.

Za utvrđivanje režima porječja korišteni su podaci dobiveni mjerenjem glavnih hidroloških veličina (protoka i vodostaja) na aktivnim kao i ukinutim hidrološkim postajama (sl. 1).



Sl. 1. Vodomjerne postaje u porječju Mirne

Fig. 1 Water range stations in Mirna catchment area

U porječju Mirne motrenja se vrše još od devetnaestog stoljeća. Prva je, 1886. godine, osnovana hidrološka postaja Portonski most-Mirna, (poznati podaci počev od 1928. godine) a kasnije i postaje Livade-Mirna (1902.) te Buzet-Mirna (1912.). Te su postaje imale prekid u radu tijekom Drugog svjetskog rata. Nakon Drugog svjetskog rata prvo je uspostavljena postaja Istarske toplice-Mirna (1955.), a zatim postaje Šćulci-Botonega (1970.), Pengari-Rečina (1971.), Abrami-Bračana (1973.) i Motovun-Mirna (1978.). Prilikom regulacije srednjeg toka Mirne ukinute su postaje Livade-Mirna (1961.) i Istarske toplice-Mirna (1963.) kao i postaja Šćulci-Botonega (1983.). U poplavi listopada 1993. godine stradale su postaje u gornjem porječju. Iste godine postaja Buzet-Mirna premještena je na novu lokaciju dok je postaja Pengari-Rečina obnovljena tek 1998. godine. Nakon izgradnje akumulacije Botonega 1987. godine motrenja su nastavljena na samoj akumulaciji (Brana) i njenom odvodnom kanalu (Botonega).

Obradeno je razdoblje 1970.-1992. godine zbog toga što se želi uzeti najveći mogući broj postaja s nizovima podataka koji su približno iz istog razdoblja motrenja. Na postaji Šćulci niz je bio dug 13 godina, Motovun 15 godina, Abrami 20 godina, Pengari 21 godinu, te postajama Buzet i Portonski most 23 godine. Obradeni podaci uspoređeni su s podacima iz posljednjeg desetljeća u kojem su i nastupile najznačajnije promjene režima. Istaknut je položaj njernog mjesta Portonski most jer nema nizvodnije postaje, a uz to, nizvodnije otjecanje je pod stalnim usporom mora. Razmatranjem nisu obuhvaćene crpljene količine vode jer je utvrđeno da potrošnja vode nije značajnije utjecala na količinu izlaznog protoka².

REZULTATI I RASPRAVA

Hidrogeološki činitelji

Porječje Mirne izgradeno je od karbonatnih stijena, klastičnih eocenskih naslaga (fliša) i kvartarnih sedimenata (Plenčar, Polšak, Šikić 1969; Polšak, Šikić 1969; Šikić, Plenčar, Šparica 1972; Šikić, Polšak, Magaš 1969).

Karbonatne naslage različite su starosti, načina pojavljivanja, strukturno-tektonskog položaja i okršenosti. Najzastupljeniji su gornjokredni paleogenski vapnenci koji izgraju gorske hrptove Čićarije (Bijela Istra), te dijelove zapadnoistarske i zrenjske zaravni. Vapnenci tvore vodopropusna područja na kojima nema stalnog površinskog otjecanja.

Slabije propusne ili nepropusne naslage pločastih vapnenaca, dolomita i vapnenačkih breča, donjokredne starosti, zastupljene su na porječju središnjega dijela gorske skupine Čićarije i središnjem dijelu zapadnoistarske zaravni. Za njih je ustanovljeno da se ne ponazuju kao barijera kretanja podzemnih voda nego kao naslage koje takve vode usmjeravaju (Magdalenić, Vazdar 1993).

Paleogene klastične naslage razvijene su u flišnom faciesu. Te naslage izgrađuju šire područje Oprtlja, Motovuna i Buzeta, a na Čićariji se pojavljuju u obliku uskih zona u nizu "terasa". Zastupljene su laporima u izmjeni s pješčenjacima, vapnencima i konglomeratima. Ove su naslage gotovo nepropusne jer im je koeficijent infiltracije 2 m/dan (Srebrenović, 1965.). Na njima je razvijena mreža površinskih tokova.

Naslage kvartarne starosti istaložene su u dolini rijeke Mirne i dolinama pritoka. Ti se sedimenti sastoje od prašinasto-glinovitog materijala, a na presjecima pojedinih drenažnih kanala srednjeg toka Mirne uočeni su i slojevi pijeska i šljunka, odnosno krša pomiješana s crvenicom i prašinasto glinovitim talogom. Kvartarne naslage su nepropusne i imaju ulogu usporne barijere.

Na porječju Mirne mogu se izdvojiti četiri tektonske jedinice. Relativno uzdignute jesu zapadnoistarska i bujska antiklinala te ljkavka struktura Čićarije dok je Tršćanski paleogenski bazen jedini spušteni sklop. Naglašeni su i vertikalni rasjedi i njihovi pukotinski sustavi kojima je najčešći smjer pružanja sjeverozapad-jugoistok.

Hidrometeorološki činitelji

Prema novijoj klimatskoj regionalizaciji (Filipčić 1999) na porječju Mirne zastupljena je umjereni topla vlažna klima s vrućim ljetima (Cfa) i umjereni topla vlažna klima s toplim ljetima (Cfb). Cf klime imaju u najsušnjem srpnju veću količinu padalina od 40 mm te u najvlažnijem studenom trostruko veću od srpanjskog iznosa. Količina padalina u Istri, što vrijedi i za porječje Mirne, povećava se od juga prema sjeveru i od zapada prema istoku (Penzar 1990). Stopa prosječnog porasta padalina s visinom u porječju Mirne iznosi 75 mm/100 m. Do tog podatka došao je Srebrenović (1965.) koji izračun temelji na podacima količine padalina iz deset postaja u razdoblju 1928.-1963.

Tab. 1. Godišnje količine padalina
Tab. 1 Amount of yearly precipitations

| Meteorološka postaja | Razdoblje motrenja | h (m) | Maksimalna | Minimalna | Godišnji prosjek |
|----------------------|--------------------|------------|-------------|------------|------------------|
| Antenal | 1966-1980 | 1 | 1028 | 616 | 872 |
| Grožnjan | 1956-1963 | 288 | 1678 | 623 | 968 |
| Opštajl | 1928-1943 | 292 | 1722 | 705 | 1138 |
| Motovun | 1961-1990 | 250 | 1287 | 719 | 1040 |
| Šćulci | 1961-1990 | 80 | 1210 | 642 | 970 |
| Draguć | 1928-1943 | 359 | 1683 | 729 | 1159 |
| Livade | 1928-1943 | 13 | 1574 | 681 | 1054 |
| Zrenj | 1961-1990 | 467 | 1460 | 770 | 1190 |
| Buzet | 1949-1964 | 90 | 1597 | 671 | 1052 |
| Abrami | 1961-1990 | 85 | 1518 | 831 | 1198 |
| Lupoglav | 1961-1990 | 390 | 1810 | 808 | 1408 |
| Lanišće | 1961-1990 | 548 | 2380 | 1246 | 1824 |
| Vodice | 1961-1990 | 661 | 2370 | 1120 | 1770 |
| Prosjek | | 271 | 1640 | 782 | 1203 |

Izvor: Postaje Opštajl, Draguć i Livade RO Vodoprivreda, Rijeka, postaja Antenal SGZO Rijeka, postaje Grožnjan i Buzet, Srebrenović 1965., te postaje Zrenj, Abrami, Lupoglav, Lanišće, Motovun, Šćulci i Vodice, Državni HMZ Republike Hrvatske, Zagreb.

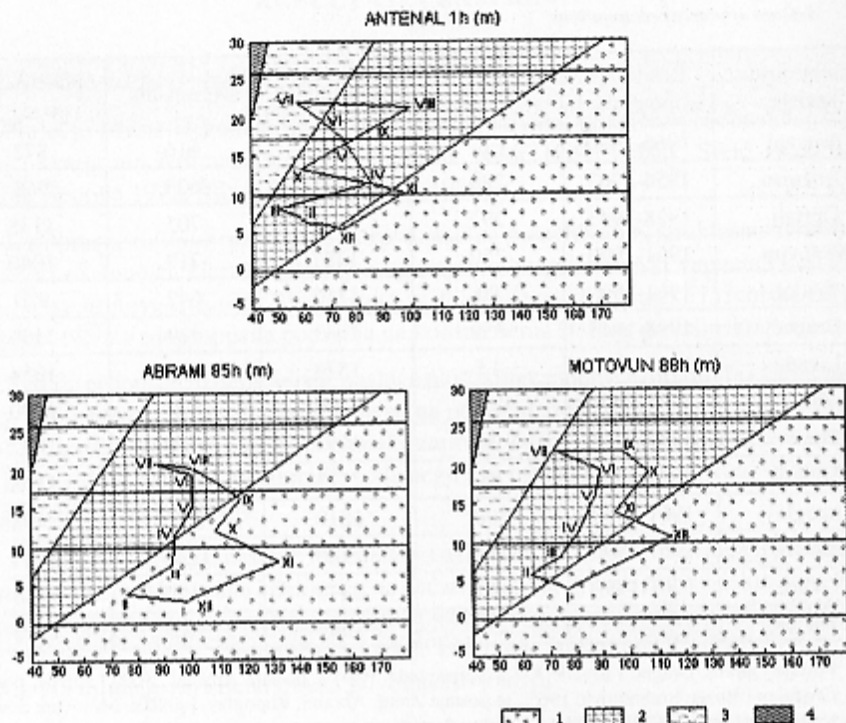
Obradu količine ili drugih obilježja padalina, relevantnih za bilancu otjecanja, otežava naglašen manjak podataka u sklopu standardnog klimatološkog niza 1961.-1990. (Filipčić 1999). Zbog manjaka podataka iskazane količine odnose se na starija i neistodobna razdoblja (tab. 1).

Reprezentativnom meteorološkom postajom za godišnji hod padalina u porječju Mirne smatra se postaja Abrami (Mihljević 1995). Na toj postaji u razdoblju 1981.-1991. povećani iznosi padalina bili su u kasno proljeće i u kasnu jesen. Udjel pljuskovitih padalina (zbroj mjesecnih padalina koje su se izlučile intenzitetom većim od 20mm /24 sata) u ukupnoj količini padalina iznosio je 48 %. Mjeseci u kojima je udjel pljuskovitih padalina u ukupnoj količini padalina ekstreman su studeni (90,7 %) i srpanj (37,4 %).

Povećana količina padalina te odnos kišnog i snježnog elementa pod utjecajem su planina. Na dijelu porječja koje je na prostoru Ćićarije snježni pokrivač visok jedan i više cm (1948./1949. - 1962./1963.) zadržava se 10-40 dana, a na nižem dijelu porječja 1-3 dana. (Lalić 1961.).

Na Fosterovom dijagramu predviđena je humidnost klime u donjem (Antenal), srednjem (Motovun) i gornjem dijelu porječja (Abrami) (sl. 2).

O humidnosti klime ovise količina otjecanja porječjem. U priobalju klima je u srpnju sub-humidna dok je na svim drugim postajama humidna do per-humidna, što znači da je količina padalina veća od veličine isparavanja.



Sl. 2. Funkcionalni odnosi temperature i padalina; 1. perhumidna, 2. humidna, 3. subhumidna, 4. semiaridna
Fig. 2 Functional ratio of temperature and precipitations; 1) perhumid, 2) humid, 3) subhumid, 4) semiarid

Otjecanje

Osnovno hidrološko obilježje porječja oblikovanog u karbonatima je podzemno otjecanje vode (tab. 2). Rezultati trasiranja podzemnog otjecanja, koje je istražila Hrvatska vodoprivreda sukladni su hidrogeološkim osobitostima stijena i njihovoj geološkoj strukturi.

Prilikom terenskog upoznavanja ponora, u kojoj je Hrvatska vodoprivreda ubacivala obilježivače, ustanovljeno je da se svi glavni ponori nalaze u slijepim dolinama koje pripadaju fluvio-krškom tipu reljefa. Razmjerno velike brzine tečenja podzemne vode ukazuju na visok stupanj razvijenosti pukotinske mreže. Podzemne vode javljaju se kao izvorske na dodiru karbonatnih i klastičnih stijena (izvor Bulaž) ili teku ispod fliša i na morfološki najnižem dijelu terena probijaju flišne naslage te izbijaju na površinu (izvor Sv. Ivan).

Izviranje jednoga dijela podzemnih voda, koje se po svoj prilici sakupljaju u zapadno istarskoj i zrenjskoj zaravni, može se zapaziti i u plitkom obalnom moru koje je u blizini Starog Tara i Antenala.

Tab. 2. Podzemno otjecanje voda u porječju Mirne

Tab. 2 Subsurface runoff in the catchment area of the Mirna river

| Mjesto ubacivanja obilježivača trasera | h (m) | Utvrđena veza s izvorima | h (m) | Udaljenost (km) | Pad % | Pravidna brzina cm/s |
|--|-------|--------------------------|-------|-----------------|-------|----------------------|
| Opatijska draga | 347 | Bulaž | 20 | 5,5 | 59,4 | 1,0 |
| Ponor Pašudija | 293 | Bulaž | 20 | 9,6 | 28,4 | 0,8 |
| Zrenjska dolina | 340 | Bulaž | 20 | 4,0 | 80,0 | 2,0 |
| Dolina Bazuje | 252 | Bulaž | 20 | 12,0 | 19,3 | 1,3 |
| Ponor Prapoče | 550 | Sv. Ivan | 45 | 7,9 | 63,9 | 4,5 |
| Ponorska Zona Dane | 440 | Sv. Ivan | 45 | 9,5 | 41,6 | 0,3 |
| | 485 | Kvarnerski zaljev | 0 | 26,0 | 16,9 | 1,7 |
| Korito Rečine | 60 | Sv. Ivan | 45 | 1,5 | 10,0 | 11,0 |
| Ponor Lanišće | 500 | Kvarnerski zaljev | 0 | 16,5 | 30,3 | 1,7 |
| | | Sv. Ivan | 45 | 10,5 | 43,3 | 1,1 |
| Tinjanska draga | 365 | Gradole | 4 | 17,0 | 21,2 | 0,5 |
| | | Poreč | 2 | 19,5 | 18,6 | 1,2 |
| | | Rovinj | 1 | 22,4 | 16,3 | 1,4 |
| | | Limski kanal | 3 | 17,2 | 21,0 | 1,1 |
| Ponor Čiže | 320 | Gradole | 4 | 14,5 | 21,8 | 1,2 |

Izvor: Dokumentacija fonda Mime (2001.)

Veću količinu podzemne vode u fliškom porječju onemogućavaju slaba poroznost i propusnost fliša. Obilježja postojećeg podzemnog otjecanja na flišu jesu male prividne brzine vode i njihovo ravnomjerno izviranje (izvori su na dodiru fliša i potočnog nanosa).

U površinskom otjecanju glavnina protoka odvija se na flišu i u manjoj mjeri na terenima u čijem sastavu dominiraju karbonatni stijenski kompleksi.

Otjecanje na flišu, koje se odvija vodenim mlazovima, prostorno je pogotovo uočljivo u vršnim dijelovima brdskih uzvišenja Vrh, Sovinjak, Kobiljak, Oprtalj, Pilostak i Draguć. Otjecanje vode prema nižim dijelovima padina dobiva sve koncentriraniji oblik pa povećani intenzitet erozije stvara žljebasta udubljenja, vododerine i jaruge te derazijske i fluvijalne doline (badland). Jaruge na karbonatima kratkog su i strmog talvega a bujice njima pronose malo nanosa.

Katastrom, kojeg je sačinio Srebrenović (1965.), obuhvaćeno je jedanaest bujičnih područja i 136 bujica ukupne dužine 277 km.

Očita je grupiranost bujica u porječju Botonege i srednjem porječju Mirne. Zbog interferencije (medusobnog pojačavanja) vodnih valova grupiranih pritoka, poplave prvo nastaju u središnjem dijelu porječja.

Tab. 3. Prosječni protoci (m³/s), standardne devijacije (m³/s) i koeficijenti varijacije na odabranim profilima u poriječju Mirne
 Tab. 3. Mean runoff, standard deviation and variation coefficient for selected profiles on Morna catchment area

| Hidrološka postaja | Protoci | I | II | III | IV | V | VI | VII | VIII | IX | X | XI | XII | SRED |
|--------------------------------------|---------|--------|--------|--------|--------|--------|--------|-------|-------|-------|--------|--------|--------|--------|
| PENGARI-REČINA (1972-1992.) | SR | 0,489 | 0,374 | 0,386 | 0,350 | 0,226 | 0,100 | 0,019 | 0,017 | 0,046 | 0,346 | 0,410 | 0,379 | 0,275 |
| | σ | 0,541 | 0,467 | 0,394 | 0,205 | 0,222 | 0,074 | 0,023 | 0,022 | 0,073 | 0,493 | 0,355 | 0,296 | 0,117 |
| | Cv | 1,106 | 1,248 | 1,021 | 0,586 | 0,983 | 0,739 | 1,206 | 1,265 | 1,568 | 1,423 | 0,864 | 0,783 | 0,426 |
| | MAX | 1,950 | 1,913 | 1,638 | 0,954 | 0,953 | 0,274 | 0,080 | 0,083 | 0,315 | 2,110 | 1,140 | 1,120 | 0,604 |
| BUZET-MIRNA (1970 - 1992.) | MIN | 0,001 | 0,002 | 0,013 | 0,069 | 0,020 | 0,014 | 0,001 | 0,001 | 0,002 | 0,003 | 0,007 | 0,104 | |
| | SR | 4,210 | 3,371 | 4,037 | 2,920 | 2,402 | 1,128 | 0,498 | 0,351 | 0,819 | 3,296 | 2,893 | 4,738 | 2,556 |
| | σ | 2,534 | 2,289 | 2,066 | 1,424 | 1,674 | 0,501 | 0,225 | 0,148 | 0,882 | 2,122 | 2,914 | 2,026 | 0,587 |
| | Cv | 0,602 | 0,679 | 0,512 | 0,488 | 0,697 | 0,444 | 0,451 | 0,422 | 1,078 | 0,644 | 1,007 | 0,428 | 0,230 |
| ABRAMI-BRAČANA (1973-1992.) | MAX | 9,090 | 8,090 | 6,550 | 5,310 | 5,180 | 1,990 | 0,943 | 0,650 | 2,640 | 5,670 | 7,900 | 8,110 | 3,370 |
| | MIN | 0,802 | 0,516 | 0,919 | 1,150 | 0,350 | 0,568 | 0,255 | 0,216 | 0,182 | 0,022 | 0,241 | 1,630 | 1,720 |
| | SR | 1,217 | 0,844 | 0,700 | 0,725 | 0,525 | 0,346 | 0,116 | 0,080 | 0,189 | 0,892 | 0,964 | 1,172 | 0,670 |
| | σ | 1,060 | 0,741 | 0,499 | 0,356 | 0,484 | 0,450 | 0,105 | 0,066 | 0,213 | 0,924 | 0,739 | 0,861 | 0,289 |
| ŠČULCIK-BOTONEGA (1971-1983.) | Cv | 0,871 | 0,878 | 0,713 | 0,492 | 0,921 | 1,298 | 0,906 | 0,825 | 1,125 | 1,036 | 0,766 | 0,735 | 0,431 |
| | MAX | 4,225 | 2,851 | 1,740 | 1,502 | 2,030 | 2,110 | 0,454 | 0,245 | 0,771 | 2,970 | 2,420 | 3,395 | 1,469 |
| | MIN | 0,040 | 0,034 | 0,063 | 0,214 | 0,107 | 0,039 | 0,021 | 0,013 | 0,015 | 0,020 | 0,012 | 0,094 | 0,248 |
| | SR | 0,614 | 0,531 | 0,371 | 0,346 | 0,237 | 0,377 | 0,134 | 0,164 | 0,421 | 0,891 | 1,158 | 0,859 | 0,508 |
| MOTOVUN-MIRNA (1978-1992.) | σ | 0,623 | 0,813 | 0,809 | 0,431 | 0,392 | 0,636 | 0,331 | 0,346 | 0,674 | 1,278 | 0,893 | 1,001 | 0,230 |
| | Cv | 1,015 | 1,530 | 2,180 | 1,250 | 1,650 | 1,690 | 2,460 | 2,120 | 1,600 | 1,430 | 0,771 | 1,160 | 0,454 |
| | MAX | 1,830 | 2,700 | 2,900 | 1,330 | 1,290 | 1,970 | 1,230 | 1,290 | 2,240 | 4,080 | 2,380 | 3,060 | 0,934 |
| | MIN | 0,000 | 0,004 | 0,011 | 0,015 | 0,007 | 0,002 | 0,003 | 0,002 | 0,001 | 0,001 | 0,002 | 0,010 | 0,061 |
| PORTONSKI-MOST-MIRNA (1970-1992.) | SR | 8,549 | 7,460 | 7,015 | 6,600 | 5,141 | 4,104 | 1,555 | 1,468 | 2,856 | 8,011 | 8,586 | 8,974 | 5,851 |
| | σ | 6,516 | 6,638 | 5,858 | 3,152 | 4,034 | 3,776 | 1,201 | 1,239 | 2,585 | 8,062 | 5,539 | 5,937 | 1,779 |
| | Cv | 0,762 | 0,890 | 0,835 | 0,478 | 0,785 | 0,920 | 0,773 | 0,844 | 0,905 | 1,006 | 0,645 | 0,662 | 0,304 |
| | MAX | 26,800 | 25,300 | 23,100 | 13,100 | 16,900 | 15,200 | 4,730 | 5,380 | 9,740 | 30,700 | 19,400 | 23,900 | 10,500 |
| | MIN | 0,403 | 0,692 | 0,649 | 1,180 | 1,090 | 0,688 | 0,403 | 0,395 | 0,246 | 0,147 | 0,239 | 1,780 | 3,400 |
| PORTONSKI-MOST-MIRNA (1970-1992.) | SR | 10,300 | 9,610 | 8,320 | 8,390 | 6,540 | 4,750 | 2,020 | 1,990 | 3,390 | 8,660 | 10,500 | 10,800 | 7,090 |
| | σ | 7,660 | 7,270 | 6,550 | 4,520 | 4,980 | 4,210 | 1,310 | 1,700 | 2,610 | 9,500 | 6,780 | 6,980 | 2,180 |
| | Cv | 0,744 | 0,757 | 0,787 | 0,539 | 0,761 | 0,886 | 0,648 | 0,854 | 0,770 | 1,100 | 0,643 | 28,400 | 13,900 |
| | MAX | 29,900 | 28,100 | 29,100 | 19,100 | 23,300 | 19,000 | 4,730 | 7,000 | 9,920 | 36,500 | 22,000 | 28,400 | 13,900 |
| | MIN | 0,522 | 0,884 | 0,874 | 2,090 | 1,500 | 0,884 | 0,490 | 0,395 | 0,351 | 0,274 | 0,459 | 1,510 | 3,650 |

Pored produkcije i pronaosa nanosa te slabljenja retencije u flišu, bujice taloženjem zasipaju i korita tekućica. Usljed smanjivanja korisnog volumena korita nanosom, Mirna je u svom središnjem porječju napuštala korito i izgradila paralelne sustave otjecanja.

Glavnina protoka obavlja se maticom, zbog čega je mehanizam tekućice morfološki prepoznatljivo oblikovao gornji, srednji i donji uzdužni profil korita. U gornjem koritu, koje je od izvora pa do Istarskih toplica, nanosi su zbog velikih nagiba krupni, a vrtložni lonci (u narodu zvani kotli) i pregibi česti. Na profilu srednjeg korita, koje je od Istarskih toplica pa do Portonskog mosta, položi su nešto niži od priobalnih nanosa zbog čega poplave u tom dijelu doline dugo traju. U donjem koritu, koje je nizvodnije od Portonskog mosta, stvaraju se akumulacijski fluvijalni oblici jer je niveleta dna ispod srednje razine mora.

Izračunati apsolutni pad korita tekućice je 417,5 m, dok je koeficijent razvijenosti 1,52. Prilikom izrade projekta, kojim je projektirano otjecanje Mirnom, precizno je izmjerena dužina korita, od izvora kod Huma pa do ušća u Antenalskom zaljevu, te upisana na topografskom listu M 1 : 10 000 (Srebrenović 1965)³. Tako izmjerena dužina korita je 53,3 km. Među najdužim pritocima su Mlinski potok, Krvar, Bračana, Malahuba, Botonega, Draga, Senica, Dragućica i Butari, a zbog svoje socio-ekonomske uloge (povezanosti između vode i stanovništva) značajni su i pritoci Zrenjski potok, Mulski potok, Juratov potok, Gradinje i Morfini.

Prilikom razmatranja režima otjecanja vode porječjem analizirani su prosječni mjesečni protoci, prosječni godišnji protok te koeficijent varijacije protoka (tab. 3)

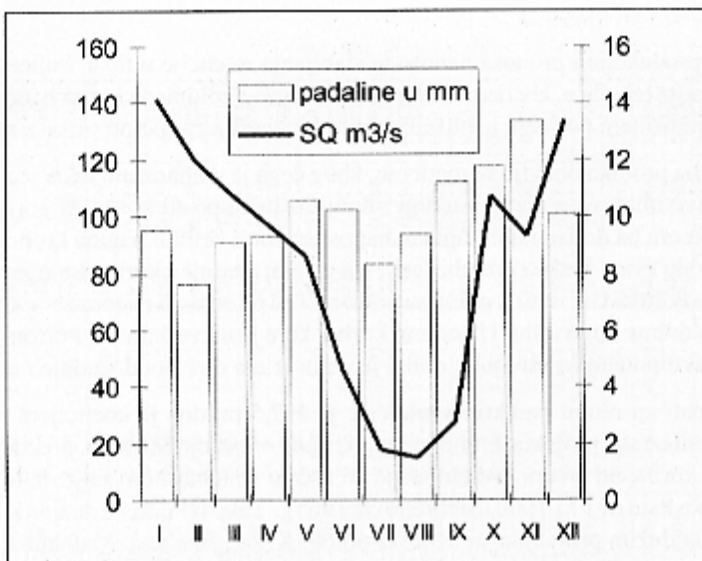
Glavni maksimum protoka najčešće je u prosincu, a minimum u kolovozu. Visoke vrijednosti protoka zadržavaju se i u siječnju, dok drugi minimum nastupa u veljači.

Prema protocima obrađenih hidroloških postaja, može se zaključiti da godišnji hod protoka odgovara sredozemnom varijetu kišno-snježnog (pluvionivalnog) režima.

Raspodjela srednjih protoka tijekom godine na postaji Portonski most pokazuje da se 68,8% godišnjeg protoka obavi u hladnjem dijelu godine. Na meteorološkim postajama unutar porječja (tab. 1) 51,0% godišnje količine padalina izluči se u hladnom dijelu godine. Taj je nesklad posljedica većih gubitaka evapotranspiracijom u toplom dijelu godine. (Prema rezultatima istraživanja Srebrenovića koji su objavljeni 1965. godine 51,2% godišnje količine padalina i 67,0% godišnjeg protoka odvija se u hladnjem dijelu godine.)

Usporedbom godišnjeg hoda padalina, postaja koje gravitiraju porječju (tab. 1), i godišnjeg hoda protoka na vodomjernoj postaji Portonski most ustanovljena je njihova nepodudarnost (sl. 3).

Ljetni minimalni protoci, koji kasne oko jedan mjesec za padalinskim minimumom, posljedica su nešto sporijeg spuštanja razine temeljnica. Izrazitiji su minimalni protoci na karbonatnim terenima te usporeniji na flišu. Nejednakost je posljedica kratkotrajnih intenzivnih padalina (Mihaljević 1995. navodi podatak da bujične padaline u ukupnim padalinama kolovoza sudjeluju s 61,4%), koje se u kršu gube procjedivanjem, dok je povećano površinsko otjecanje na flišu posljedica njegove malene poroznosti i propusnosti.



Sl. 3. Srednje mješevne padaline na postajama koje gravitiraju porječju Mirne i srednji mješevni protoci na postaji Portonski most (1970.-1998.)

Fig. 3 Mean monthly precipitations of meteorological stations that gravitates to Mirna catchment area and mean monthly runoff in wattergang station Portonski most (1970-1998)

Visoki protoci na flišu u kasnu jesen odraz su maksimuma padalina koji dolazi u tom dijelu godine. Obimnijim padalinama u kasnu jesen, na kršu se najprije popunjava podzemni deficit vode zbog čega maksimalni protok kasni za maksimumom padalina.

U proljeće podloga je saturirana pa snijeg koji se topi podiže protok na krškom porječju. U istom razdoblju niži dio porječja (pretežito manje propusnosti) izložen je čestim ali manje intenzivnim padalinama što ih nosi vlažan zrak s mora (maritimni utjecaji) te su zbog toga otjecanja ravnomjernija a razlike između ekstremnih vrijednosti protoka su manje.

Iz prikaza **koeficijenata varijacije** srednjih mješevnih i srednjih godišnjih protoka se može vidjeti da su promjenljivosti protoka veće na uzvodnjim i ustaljenje na nizvodnjim postajama (tab. 2). Najvarijabilniji mjesec (rujan) nastupa nakon ljetnih minimalnih protoka. Izuzetak je jedino postaja Abrami - Bračana na kojoj je najvarijabilniji mjesec lipanj. Pojava i raspodjela koeficijenata varijacije srednjih mješevnih protoka ukazuje na mogućnost velikih odstupanja od prosječnih godišnjih vrijednosti.

Važan pokazatelj režima tekućica jesu **koeficijenti otjecanja** vode. Koristeći se karakterističnim koeficijentima otjecanja Keller (1968.) je osmislio hidroobrazac za prikaz tipova tekućica. Prema tom hidroobrascu ravnomjeran režim otjecanja imale bi tekućice slovnog obrazca Aa dok bi slovni obrazac Hh označavao režim ekstremne fluktuacije. Koeficijenti otjecanja mjeseca s najvećim protokom označeni su velikim slovima dok su koeficijenti otjecanja mjeseca s najmanjim protokom označeni malim slovom (tab. 4).

Tab. 4. Tipovi režima za odabrane postaje porječja Mirne
 Tab. 4 Regime types for selected profiles in Mirna catchment area

| Postaja | Period motrenja | Tip otjecanja |
|------------------------|-----------------|---------------|
| Pengari – Rečina | 1972 – 1992. | D h 1,8 |
| Buzet – Mirna | 1970 – 1992. | B h 12,8 |
| Abrami – Bračana | 1973 – 1992. | E h 1,8 |
| Šćulci – Botonega | 1970 – 1983. | G g 11,7 |
| Motovun – Mirna | 1978 – 1992. | D h 1,7 |
| Portonski most – Mirna | 1970 – 1992. | D h 1,8 |

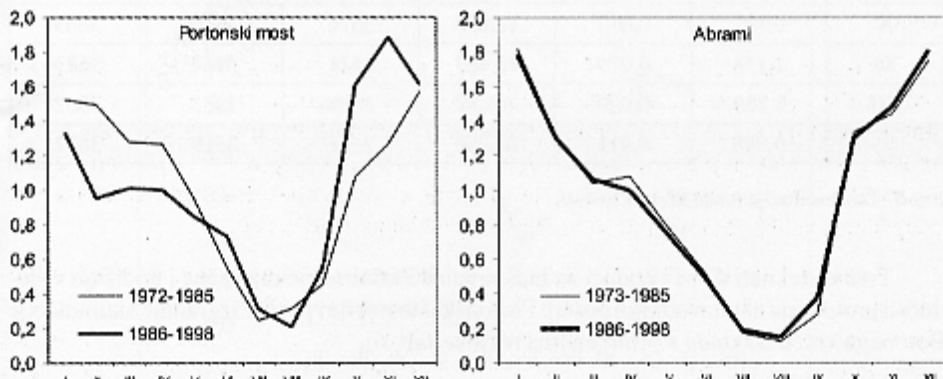
Izvor: Izračunao autor prema podacima tab. 3.

Karakteristični mjesečni koeficijenti otjecanja i njihovo vremensko pojavljivanje potvrđuju da je režim Mirne pod prevladavajućim utjecajem jesensko - zimskih kiša i ljetnih suša.

Razlike u režimu, razdoblja prije i nakon izgradnje Botonege, mogu se ustanoviti usporedbom načina opskrbe tekućica vodom te raspodjele karakterističnih protoka (vodostaja).⁴

Do promjena u otjecanju u srednjem i donjem poriječju došlo je nakon regulacije glavnih pritoka te premještanja Mirne u izgrađeni kanal. Zbog toga je došlo do promjene brzine otjecanja a time i mehanizma transporta nanosa.

U izmjenjenom režimu otjecanja taloženje nanosa različite krupnoće odvija se u zaplavu akumulacije Botonega⁵, a vučenog nanosa i na drugim podignutim retencijama. Povećanjem brzine otjecanja usporen je proces taloženja i porasta nanosa u koritu Mirne i naglašeno povećan na ušću Mirne u Tarskoj vali (konačna erozijska baza). Suzbijanje nastanka ili premještanje tendencije taloženja iz korita (doline) na zaplavu akumulacije ili ušće tekućice pozitivna je prostorna promjena koja utječe na održivost porječja.



Sl. 4. Mjesečni koeficijent protoka, postaja Portonski most i Abrami
 Fig. 4 Monthly channel runoff coefficients, station Portonski most and Abrami

Usporedbe krivulja godišnjeg hoda protoka u modularnim koeficijentima prije i poslije izgradnje akumulacije Botonega (sl. 4) pokazale su značajniji međusobni nesklad u srednjem i donjem porječju (postaje Motovun i Portonski most) te minimalne razlike u gornjem porječju (postaja Abrami).

Na raspodjelu protoka na hidrološkim postajama Portonski most i Motovun utječe se kontroliranim punjenjem ili pražnjenjem akumulacije Botonega. Te su veze vidljive iz kretanja podataka o protocima na mјernom mjestu Šćulci koje se nalazi na odvodnom kanalu Botonega.

Usporeni protoci u svibnju posljedica su punjenja, a povećani u studenome pražnjenja akumulacije (tab. 5).

Tab. 5. Karakteristične mјesečne protoke i vodostaji za postaje porječja Mirne

Tab. 5 Monthly runoff values (MQ , MNQ , MHQ) and monthly waterstage values (MW , MNW , MHW) for profiles in Mjerna catchment area

| mj. | Hidrološka postaja Šćulci - Botonega 1986-1998. (N = 13) | | | Hidrološka postaja Brana - Botonega 1988 – 1998. (N = 11) | | |
|------|---|--------------|---------------|--|-------------|-------------|
| | SQ | SNQ | SVQ | SV | SNV | SVV |
| I | 0,614 | 0,032 | 9,413 | 3513 | 3476 | 3570 |
| II | 0,531 | 0,042 | 4,220 | 3560 | 3531 | 3598 |
| III | 0,371 | 0,047 | 2,513 | 3625 | 3587 | 3681 |
| IV | 0,346 | 0,032 | 5,357 | 3704 | 3666 | 3745 |
| V | 0,237 | 0,022 | 4,205 | 3750 | 3731 | 3766 |
| VI | 0,377 | 0,023 | 6,138 | 3760 | 3734 | 3773 |
| VII | 0,134 | 0,022 | 2,326 | 3725 | 3697 | 3765 |
| VIII | 0,164 | 0,021 | 1,836 | 3688 | 3653 | 3713 |
| IX | 0,421 | 0,019 | 6,331 | 3636 | 3594 | 3670 |
| X | 0,891 | 0,017 | 12,005 | 3576 | 3523 | 3663 |
| XI | 1,158 | 0,019 | 12,467 | 3511 | 3424 | 3671 |
| XII | 0,859 | 0,020 | 8,636 | 3488 | 3453 | 3562 |
| | 0,508 | 0,011 | 20,240 | 3628 | 3319 | 3831 |

Izvor: Dokumentacija fonda Mirne (2001.)

Treba istaknuti da se i podaci za maksimalne i minimalne mјesečne i godišnje vrijednosti protoka na najnizvodnijoj postaji Portonski most prije i poslije izgradnje akumulacije Botonega kreću u skladu s promjenama režima (tab. 6).

Tab. 6. Karakteristične mjesečne protok za postaju Portonski most

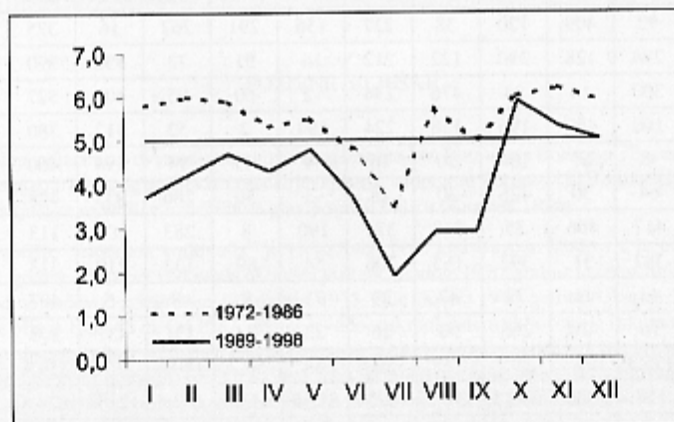
Tab. 6 Highest monthly runoff values (MNQ , MHQ) for profiles in Portonski most

| God. | SNQ | I | II | III | IV | V | VI | VII | VIII | IX | X | XI | XII | God. |
|------------------------|-------|-------|-------|-------|-------|-------|-------|-------|-------|-------|-------|-------|-------|-------|
| 1972- 1986. N 15 | Sred. | 2,617 | 2,931 | 2,634 | 2,658 | 2,138 | 1,595 | 0,811 | 0,645 | 0,734 | 1,184 | 1,675 | 2,268 | 0,549 |
| | Max | 9,25 | 9,69 | 8,31 | 8,22 | 5,82 | 4,77 | 2,37 | 1,87 | 1,69 | 5,74 | 6,33 | 6,48 | 1,69 |
| | Min | 1,12 | 1,08 | 0,79 | 0,914 | 0,951 | 0,339 | 0,339 | 0,101 | 0,069 | 0,193 | 0,24 | 0,531 | 0,069 |
| 1989- 1998. N 10 | Sred. | 2,318 | 1,985 | 1,642 | 1,794 | 1,257 | 1,174 | 0,746 | 0,548 | 0,682 | 1,66 | 2,029 | 2,58 | 0,454 |
| | Max | 5,68 | 4,97 | 5,81 | 3,71 | 1,92 | 3,6 | 1,18 | 0,775 | 1,61 | 6,24 | 7,2 | 4,62 | 0,702 |
| | Min | 0,362 | 0,276 | 0,668 | 0,682 | 0,716 | 0,635 | 0,392 | 0,212 | 0,412 | 0,415 | 0,415 | 1,31 | 0,212 |
| God. | SVQ | I | II | III | IV | V | VI | VII | VIII | IX | X | XI | XII | God. |
| 1972- 1986. N 15 | Sred. | 49,17 | 47,09 | 47,26 | 44,37 | 35,58 | 21,38 | 15,52 | 18,98 | 26,6 | 37,4 | 49,05 | 52,11 | 74,19 |
| | Max | 95,4 | 82 | 79 | 68,6 | 71,8 | 56,7 | 38,7 | 75 | 59,8 | 83 | 85,7 | 79,9 | 95,4 |
| | Min | 4,33 | 2,91 | 3,3 | 19 | 2,77 | 2,39 | 0,716 | 1,21 | 0,412 | 0,339 | 1,61 | 21,8 | 57,3 |
| 1989- 1998. N 10 | Sred. | 37,13 | 31,8 | 30,89 | 32,15 | 23,41 | 25,37 | 11,71 | 8,248 | 22,82 | 57,96 | 63,42 | 54,46 | 101,7 |
| | Max | 70,3 | 103 | 139 | 78,9 | 88,7 | 79,2 | 37,9 | 35,1 | 58,5 | 178 | 129 | 123 | 178 |
| | Min | 0,636 | 1,03 | 1,08 | 3,55 | 3,79 | 2,69 | 1,03 | 0,852 | 1,26 | 1,48 | 21,5 | 4,97 | 54,5 |

Izvor: Dokumentacija fonda Mirne (2001.)

Svrhovito je razmotrili i maksimalne mjesečne i godišnje vrijednosti vodostaja jer su sve hidrotehničke promjene uzrokovane visokim vodama (tab. 7).

Prouzročene promijene, na hidrološkoj postaji Portonski most, očitoju se u smanjenim iznosima srednjih maksimalnih mjesečnih i godišnjih vrijednosti vodostaja, nešto većim koeficijentima varijacije vodostaja od ranijih, te znatno reduciranim vrijednostima visokih vodostaja.



Sl. 5. Najviši vodostaji u metrima na hidrološkoj postaji Portonski most

Fig. 5 Highest monthly waterstage values in meters (HW) for profiles of Portonski most in Mirna catchment area

Za gospodarenje Mirnom dodatno je važno usporediti najviše mjesecne vodostaje u promatranim razdobljima (sl. 5). Unutar nivograma ravnom crtom predložen je vodostaj kod kojeg se počnu provoditi aktivne mjere obrane od poplava. Karakteristični visoki vodostaji, koji su predloženi nivogramom pojavljuju se u razdoblju kasne jeseni, iz čega se može pouzdano utvrditi da hidrotehničkim zahvatima nisu otklonjena sva njihova nepovoljna obilježja.

Tab. 7. Maksimalni mjesecni vodostaji na hidrološkoj postaji Portonski most

Tab. 7 Monthly waterstage values (HW) for profiles of Portonski most in Mirna catchment area

| God. | I | II | III | IV | V | VI | VII | VIII | IX | X | XI | XII | God. |
|-------|-------|-------|-------|-------|-------|-------|-------|-------|-------|-------|-------|-------|-------|
| 1972. | 379 | 489 | 444 | 294 | 553 | 66 | 350 | 365 | 464 | 170 | 528 | 448 | 553 |
| 1973. | 502 | 490 | 80 | 262 | 100 | 180 | 58 | 60 | 464 | 208 | 513 | 314 | 513 |
| 1974. | 450 | 435 | 586 | 240 | 417 | 479 | 352 | 246 | 340 | 598 | 500 | 262 | 598 |
| 1975. | 345 | 81 | 566 | 525 | 426 | 201 | 255 | 200 | 418 | 188 | 615 | 586 | 615 |
| 1976. | 94 | 599 | 448 | 476 | 138 | 384 | 220 | 568 | 495 | 600 | 586 | 590 | 600 |
| 1977. | 492 | 487 | 146 | 508 | 72 | 260 | 340 | 444 | 62 | 44 | 202 | 493 | 508 |
| 1978. | 562 | 436 | 293 | 404 | 445 | 164 | 297 | 94 | 72 | 354 | 303 | 370 | 562 |
| 1979. | 580 | 485 | 462 | 384 | 144 | 150 | 42 | 26 | 295 | 402 | 500 | 389 | 580 |
| 1980. | 240 | 119 | 250 | 204 | 276 | 132 | 18 | 78 | 66 | 396 | 500 | 385 | 500 |
| 1981. | 295 | 123 | 374 | 190 | 414 | 50 | 130 | -3 | 196 | 396 | 74 | 498 | 498 |
| 1982. | 421 | 11 | 433 | 272 | 433 | 317 | 23 | 132 | 37 | 378 | 459 | 384 | 459 |
| 1983. | 258 | 298 | 424 | 380 | 271 | 59 | -7 | 44 | 7 | 79 | 8 | 370 | 424 |
| 1984. | 465 | 510 | 311 | 418 | 158 | 215 | 134 | 154 | 356 | 548 | 425 | 409 | 548 |
| 1985. | 448 | 437 | 407 | 385 | 390 | 82 | 10 | 20 | -16 | -19 | 96 | 195 | 448 |
| 1986. | 209 | 417 | 404 | 481 | 161 | 302 | 37 | 181 | 237 | 38 | 288 | 438 | 481 |
| Sred. | 382,7 | 361,1 | 375,2 | 361,5 | 293,2 | 202,7 | 150,6 | 173,9 | 232,9 | 292 | 373,1 | 408,7 | 525,8 |
| STD | 139,6 | 185,8 | 139,4 | 111,3 | 155 | 126,1 | 137,8 | 168 | 184,4 | 207 | 197,6 | 107,7 | 59,14 |
| Cv | 0,365 | 0,514 | 0,372 | 0,308 | 0,528 | 0,622 | 0,915 | 0,966 | 0,792 | 0,709 | 0,53 | 0,264 | 0,112 |
| 1989. | -9 | 92 | 409 | 120 | 38 | 227 | 156 | 291 | 267 | 16 | 375 | 143 | 409 |
| 1990. | 26 | 286 | 128 | 310 | 122 | 212 | 16 | 91 | 73 | 392 | 390 | 478 | 478 |
| 1991. | 348 | 300 | 14 | 24 | 476 | 234 | -2 | 60 | 95 | 102 | 527 | 106 | 527 |
| 1992. | 28 | 160 | 450 | 196 | 158 | 224 | 194 | 2 | 52 | 512 | 380 | 502 | 512 |
| 1993. | 78 | -8 | 60 | 104 | 26 | 16 | -8 | -12 | 94 | 594 | 460 | 356 | 594 |
| 1994. | 323 | 64 | 30 | 426 | 30 | 18 | -3 | 36 | 286 | 335 | 428 | 53 | 428 |
| 1995. | 335 | 417 | 466 | 35 | 218 | 374 | 190 | 8 | 283 | 106 | 113 | 445 | 466 |
| 1996. | 339 | 382 | 31 | 392 | 165 | 206 | 54 | 89 | 133 | 219 | 313 | 357 | 392 |
| 1997. | 374 | 44 | 15 | 77 | 47 | 29 | 71 | 8 | -8 | -5 | 407 | 398 | 407 |
| 1998. | 235 | 16 | -10 | 266 | 90 | 26 | 22 | -11 | 131 | 437 | 201 | 29 | 437 |
| Sred. | 207,7 | 175,3 | 159,3 | 195 | 137 | 156,6 | 69 | 56,2 | 140,6 | 270,8 | 359,4 | 286,7 | 465 |
| STD | 157,7 | 158 | 198,8 | 146,5 | 136,1 | 125 | 81,13 | 91,04 | 103,4 | 213 | 122,4 | 183,9 | 63,98 |
| Cv | 0,759 | 0,901 | 1,248 | 0,751 | 0,994 | 0,798 | 1,176 | 1,62 | 0,736 | 0,787 | 0,34 | 0,642 | 0,138 |

Izvor: Dokumentacija fonda Mirne (2001.)

ZAKLJUČAK

Utvrđeno je da su antiklinalna struktura Čićarije i raspored pojedinih hidrogeoloških članova usmjerili otjecanje voda od sjevera prema jugu. Pukotinski sistemi ponora i vrela na vapnencima u najvećoj mjeri prošireni su u kanale uočljive veličine. Izviranje na vapnencima obilježava malen broj vrela koja su periodičnog ili epizodnog značaja. Izvori na flišu znatno su stabilniji i malokad presahnu. Iznosi padalina koji gravitiraju karbonatnom porječju u koritima tekućica pojavljuju se sa zadrškom dok je pritjecanje s fliša neposrednije (bujično). Načini opskrbe porječja vodom te raspodjela karakterističnih protoka (vodostaja) odgovaraju sredozemnom varijetu kišno-sniježnog (pluvionivalnog) režima. Kišna komponenta režima znatno je naglašenija. Nepovoljno obilježje režima jesu ekstremni protoci i vodostaji. Na najnižvodnjoj hidrološkoj postaji Portonski most nisu ustanovljeni dani s presušivanjem dok je najviši vodostaj (630 cm) zabilježen 1964. godine. Izvorna složenost režima dodatno je određena pomoću Kellerovog hidroobrasca. Kod takvog tipa režima maksimum protoka javlja se u siječnju, prosincu i studenom a minimum u kolovozu i srpnju. Podizanje brane i izgradnja uređaja za regulaciju protoka baš u porječju Botonege, a ne na nekoj drugoj lokaciji, logični je izbor zbog toga što je to najhomogenija bujična površina. Izgrađeni hidrotehnički objekti utjecali su na raspodjelu protoka i vodostaja dok je količina protoka ostala podjednaka ranijoj. U godišnjem hodu protoka promjenjen je položaj maksimuma u dijelu porječja nizvodnije od pritjecajnog kanala Botonega. Reguliranjem otjecanjem obuhvaćen je samo jedan dio porječja zbog čega i dalje dolazi do poplava. Volumen umjetnog jezera koji je planiran za zaštitu od velikih voda koristi se i za vodoopskrbu. Vodoopskrbi odgovaraju maksimalni iznosi akumulirane vode (pogotovo uoči turističke sezone), a sustavu zaštite od visokih voda, ograničeni iznosi (veći vodoprihvatski kapacitet). Zbog takvih, međusobno suprostavljenih načina korištenja akumulacije Botonega moguće su dodatne poteškoće u gospodarenju vodama porječja.

POZIVNE BILJEŠKE

1. Toponim doline nalazimo u dvjema osnovnim verzijama i to kao Butoniga i Botonega (Bottonega). Toponim Butoniga vjerojatno je starog porijekla i znači lijevi pritok, a toponim Botonega ili Bottonega javlja se kasnije u doba Venecijanske republike i znači brzo plavljenje ili bujiču (Kvastek 1996).
2. Osnovno izvorešte "Istarskog vodovoda" je vrelo Sveti Ivan kod Buzeta. Vodovod je pušten u uporabu 28. 10. 1933. godine. U sustav vodovoda uključen je izvor Gradole 1970. godine te izvor Bulaž 1988. godine. Do 1970. godine vodovod je izgrađen do Rovinja, 1975. Pule i Kopra 1984. godine. Ukupna dužina vodovoda 2001. godine bila je 1008,4 km. Od 1987. godine u vodoopskrbnim sistemima uključena je i akumulacija Botonega. Zbog toga što nisu izgrađeni uređaji za kondicioniranje, preko ponorskog sustava Čiže, vodom iz Botonege u ljetnim mjesecima prihranjuje se izvor Gradole. Vodovod nije značajnije utjecao na režim porječja. Do takvog zaključka došlo se usporedbama izlaznog protoka na hidrološkoj postaji Portonski most za različita razdoblja motrenja. Srednji protok koji je izračunao Kos (2001.) za razdoblje 1955.-1993. iznosio je $7,605 \text{ m}^3/\text{s}$. Prema izračunu Hrvatske vodoprivrede (Dokumentacija fonda Mirne 2001) srednji protok na tom mjerom mjestu u razdoblju 1970.-1998. bio je $7,06 \text{ m}^3/\text{s}$.

3. Različita su shvaćanja od kud se mjeri dužina Mirne. U pojedinim projektima Mirna je prikazana kao tekućica koja nastaje spejanjem Rečine i Drage kod naselja Penguri, a ušće joj je u Antenalskom zaljevu. Dužina Mirne u projektima je 38,6 km. Na topografskim kartama Mirna je predviđena kao tekućica kojoj je izvor u blizini Huma. Na takav način poistovjećeni su gornji tok Mirne i Rečine. O tome koje je ime ispravno postoji dvojba i kod stanovništva koje gravitira tekućicama (Pelivan 2001). Tako mještani naselja Kotle tvrde da je to Rečina, pritoka Mirne, dok u okolnim naseljima kažu da je to Merna.
4. Prvo su prema mletačkom projektu iz 1631. godine, izgrađeni objekti namjenjeni održavanju plovidbe Mirnom. Na takav način Mlečani su brodovima odvozili motovunski hrast lužnjak koji su koristili za izradu pilona na kojima leži Venecija. U kasnijem razdoblju isušivane su močvare jer su bile leglo komraca, da bi početkom dvadesetog stoljeća počela izgradnja sustava za obranu od poplava. Izgrađene hidrotehničke objekte čine retencije gradivine, zidovi i suhozidovi, nasipi, sabirni lateralni kanali, regulirana korita, preložena korita, kaptirani izvori, pumpne postaje, pošumljena područja i uredaji za odvodnju dolina.
5. Akumulacija Botonega smještena je na istoimenoj pritoci Mirne i to nizvodno od mjesta sutoka Dragučkog i Račičkog pritoka Botonege. Prvo punjenje akumulacije započelo je u svibnju 1987. godine. Volumen vodo-spremnika do kote praga preljeva (41 m. n. m.) iznosi $19,7 \times 10$ na 6 m^3 . Površina vodospremnika pri kota praga preljeva iznosi $2,45 \text{ km}^2$. Vodospremnik Botonega planiran je kao dvonamjenski objekt za zaštitu od velikih voda i osiguranje vode za navodnjavanje. Kasnijom izmjenom projekta Botonega je postala i spremnikom vode za vodoopskrbu Istarskog vodovoda (Rubinić 1999).

LITERATURA

- Ambrosi C., 1969: L. Adriatico nel Quaternario, Attimus. Civ. St. Nat. 26(5), 129-175
- Babić Ž., 1968: Prilog poznavanja hidrogeoloških odnosa južne i srednje Istre, Geološki vjesnik, 21, 295-305
- Benac Č., 1991: Postanak i geotehničke osobitosti doline i zaljeva Raže, Pomorski zbornik, 29, 475-492
- Bonacci O., 1996: Nov pristup reguliranja rijeka, Hrvatska vodoprivreda, 5, 40-46
- Dokumentacija fonda Mirne 2001: Hrvatska vodoprivreda, Rijeka
- Filipčić A., 1999: Klimatska regionalizacija Hrvatske po Klüppenu za razdoblje 1961. - 1990., Zbornik radova, 2. Hrvatskog geografskog kongresa, Lovran, 93-98
- Keller R. i suradnici, 1968: Flussregime und Waserhaushalt, I. Freiburger Geographische Hälfte, 6
- Kos Z., 1998: Plan navodnjavanja za područje istarskih slivova, Građevinski fakultet, Rijeka
- Kos Z., 2001: Vodoprivreda gornjeg Jadrana, Adamić, Rijeka
- Kvastek K., 1996: Namjena i gospodarsko značenje akumulacije Botonega - Butoniga, Hrvatska vodoprivreda, 29-39
- Lalić A., 1961: Atlas klime, JHMZ, Beograd
- Magdalenić A. i Vuždar T., 1999: Hidrogeološka interpretacija trasiranja podzemnih voda u središnjoj Istri, Hrvatske vode 4, 188 - 238
- Mihljević D., 1995: Procesi prekomjerne denudacije i njihove posljedice istarskom pobrdu. Zbornik radova, 1. hrvatski geografski kongres, Zagreb, 188 - 204
- Pelivan A., 2001: Kotli-posebna prirodna pojava u Istri, Ekološki glasnik, Zagreb, 9 - 10, 36 - 48
- Penzar B., 1990: Osvrt na vrijeme i klimu Kvarnerskog zaljeva, Ekološki glasnik, 9 - 10, 26 - 34
- Plenić M., Polšak A., Šikić D., 1969: Osnovna geološka karta M 1:100 000, list Trst, Savezni geološki zavod, Beograd
- Poljak A., Šikić D., 1969: Osnovna geološka karta M 1:100 000, list Rovinj, Savezni geološki zavod, Beograd
- Ridičić J., 1975: Vode, Geografija SR Hrvatske, Školska knjiga, Zagreb, V, 35 - 42
- Rubinić J., 1999: Idejno rješenje razvijanja izvorišta regionalnog vodoopskrbnog sustava Istre, Hidroprojekt, Zagreb

- Rubinić J., Bušelić I., 1999: Hidrološka analiza suspendiranog namosa u istarskim vodama, Hrvatske vode, Zagreb, 27, 127 - 137
- Rubinić J., Ožanić N., 1998: Hidrološki aspekti gospodarenja akumulacijom Botonega u Istri, 1. hrvatska konferencija o vodama, Dubrovnik, 147 - 157
- Srebenović D., 1965: Vodoprivredna osnova sliva Mirne, Projekt, Zagreb, knjige 1-4
- Šikić D., Polšak A., Magaš N., 1969: Osnovna geološka karta M 1:100 000, list Labin, Savezni geološki zavod, Beograd
- Šikić D., Pleničar M., Šparica M., 1972: Osnovna geološka karta M 1:100 000, list Ilirska Bistrica, Savezni geološki zavod, Beograd
- Vazdar Z., i suradnici, 1993: Sliv izvora Gradole u Istri, Arhitektonski fakultet, Zagreb
- Vodoprivreda Rijeka 1988: Hidrološko - hidraulička studija Mirne, Rijeka

SUMMARY

Water Flow Conditions and Stream Flow Regime in the Catchment Area of the Mirna River

Rade Knežević

The amount of precipitation that gravitates/flows towards the catchment area is 1205 mm, and it is calculated by taking the averages over several years in the following areas: Antenal, Grožnjan, Oprtalj, Motovun, Ščulci, Draguć, Livade, Zrenj, Buzet, Abrami, Lupoglav, Lanišće, and Vodice. The maximum amount of precipitation occurs in November, while the minimum amount occurs in February. In the catchment area, two fundamental hydrogeological units are recognized. In the northern and eastern areas carbonates are found, while towards the south and west there are paleogeogenic klastic sediments. On the carbonates, the flow occurs underground, while on the flysch it occurs on the ground's surface. Preliminary research at the underground flow demonstrates the existence of links between the spring and sink-hole. The spring is comprised of numerous smaller springs of relatively large capacity. The main springs are: Sveti Ivan, Bulaž, and Grdole. The surface flow on the flysch occurs by way of the Mirna River (53.3 km) and its tributaries. There are 133 tributaries and springs on the catchment area (583.5 km^2).

In order to determine the discharge (m^3/s) and the water level (cm), the measurement results of the following hydrological stations were used: Portonski most, Ščulci, Brana, Motovun, Pengari, Buzet, and Abrami. Before the construction of the Botonega dam, the maximum discharge was registered in January, and the minimum in August. The higher values of the discharge also occurred in January, while the second minimum occurred in February. Based on the flow and discharge statistics, it was concluded that such an annual movement was typical for a Mediterranean variation of pluvionival regime.

The variations in discharge were compatible with the variations in precipitation, as well as the hydrogeological characteristics of the catchment area. In such a regime, the high water rivers threatened the lower parts of the catchment area throughout the entire year. After the construction

of the Botonega dam, the natural flow regime was changed. The maximum discharge now occurs in November, while the minimal remains in August. Large changes in discharge also occur in the spring, because the dam fills during this time. With the construction of hydrotechnological objects, extreme discharges were mitigated, while high water levels continue to appear towards the end of autumn.

In this article, it is concluded that a more moderate flow can be attained with the regulation of the tributaries of the Mirna River.

Primljeno (Received): 24 - 9 - 2002

Prihvaćeno (Accepted): 1 - 2004

Rade Knežević dr.sc., docent

Fakultet za turistički i hotelski menadžment,
Opatija, Hrvatska/Croatia